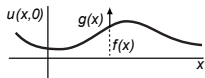


1.3. Unicidad, los problemas clásicos, ondas

Tiene solución única dependiente continuamente de los datos el

problema puro de valores iniciales:

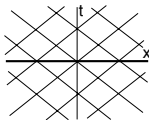
$$(P_1) \begin{cases} u_{tt} - c^2 u_{xx} = F(x, t), & x, t \in \mathbf{R} \\ u(x, 0) = f(x), & u_t(x, 0) = g(x) \end{cases}$$



para la **cuerda infinita**. Hallemos su solución (es la única ecuación clásica resoluble por este camino) para $F \equiv 0$. Como $B^2 - 4AC = 4c^2$, es hiperbólica. A partir de las expresiones halladas en la página 9:

$$\begin{cases} \xi = x + ct \\ \eta = x - ct \end{cases} \rightarrow \begin{cases} u_{xx} = u_{\xi\xi} + 2u_{\xi\eta} + u_{\eta\eta} \\ u_{tt} = c^2 [u_{\xi\xi} - 2u_{\xi\eta} + u_{\eta\eta}] \end{cases} \rightarrow -4c^2 u_{\xi\eta} = 0,$$

$$\boxed{u_{\xi\eta} = 0} \text{ forma canónica} \rightarrow u_{\xi} = p^*(\xi), \quad u = p(\xi) + q(\eta).$$



La **solución general** es $\boxed{u(x, t) = p(x + ct) + q(x - ct)}$, $p, q \in C^2$ arbitrarias.

Imponemos los datos para dar la solución del problema de valores iniciales:

$$\begin{aligned} \begin{cases} p(x) + q(x) = f(x) \\ cp'(x) - cq'(x) = g(x) \end{cases} &\rightarrow \begin{cases} p'(x) + q'(x) = f'(x) \\ p'(x) - q'(x) = \frac{1}{c}g(x) \end{cases} \rightarrow 2p'(x) = f'(x) + \frac{1}{c}g(x) \\ &\rightarrow p(x) = \frac{1}{2}f(x) + \frac{1}{2c} \int_0^x g(s) ds + k \rightarrow q(x) = \frac{1}{2}f(x) - \frac{1}{2c} \int_0^x g(s) ds - k \rightarrow \end{aligned}$$

fórmula de D'Alembert

$$\boxed{u(x, t) = \frac{1}{2} [f(x + ct) + f(x - ct)] + \frac{1}{2c} \int_{x-ct}^{x+ct} g(s) ds}$$

[Para que u sea C^2 , debe $f \in C^2$ y $g \in C^1$].

Única solución por imponer datos sobre la recta $t=0$ no característica.

Problema para la cuerda acotada

Otro problema bien planteado es el de la **cuerda acotada** cuyos extremos se mueven verticalmente según $h_0(t)$ y $h_L(t)$ dadas (que estén fijos es un caso particular). Hay entonces dos **condiciones de contorno** adicionales:

$$(P_2) \begin{cases} u_{tt} - c^2 u_{xx} = F(x, t), & x \in [0, L], t \in \mathbf{R} \\ u(x, 0) = f(x), & u_t(x, 0) = g(x) \\ u(0, t) = h_0(t), & u(L, t) = h_L(t) \end{cases}$$

Demostremos su **unicidad** (veremos que la solución existe, como en otros casos, hallándola explícitamente [en 1.4 mediante extensiones o en 4.2 por separación de variables]). Sean u_1 y u_2 soluciones de (P_2) y sea $u = u_1 - u_2$.

Entonces u cumple: $(P_0) \begin{cases} u_{tt} - c^2 u_{xx} = 0, & x \in [0, L], t \in \mathbf{R} \\ u(x, 0) = u_t(x, 0) = u(0, t) = u(L, t) = 0 \end{cases}$

Queremos ver que $u \equiv 0$. Integremos la identidad:

$$u_t [u_{tt} - c^2 u_{xx}] = \frac{1}{2} \frac{\partial}{\partial t} [u_t^2 + c^2 u_x^2] - c^2 \frac{\partial}{\partial x} [u_t u_x]$$

para x entre 0 y L y t entre 0 y T , suponiendo u solución de (P_0) :

$$\frac{1}{2} \int_0^L [u_t^2 + c^2 u_x^2]_{(x,0)}^{(x,T)} dx - c^2 \int_0^T [u_t u_x]_{(0,t)}^{(L,t)} dt = \frac{1}{2} \int_0^L [u_t(x, T)^2 + c^2 u_x(x, T)^2] dx = 0$$

$$\text{pues } u_{tt} - c^2 u_{xx} = u_t(x, 0) = u_x(x, 0) = u_t(0, t) = u_t(L, t) = 0.$$

El último corchete es ≥ 0 y es función continua de x . Para que la integral se anule debe ser $u_t(x, T) = u_x(x, T) = 0$ si $0 \leq x \leq L$ y para cualquier T . Por tanto $u(x, t)$ es constante y como $u(x, 0) = 0$ debe ser $u = u_1 - u_2 \equiv 0$. Hay unicidad.

Problemas bien planteados para el calor

Para la **varilla infinita**:

$$(P_3) \begin{cases} u_t - ku_{xx} = F(x, t), & x \in \mathbf{R}, t > 0 \\ u(x, 0) = f(x), & u \text{ acotada} \end{cases} .$$

$t=0$ es característica y no es buen problema de valores iniciales. Basta un solo dato, la distribución inicial de temperaturas, para fijar las posteriores.

[No podemos dar arbitrariamente la $u_t(x, 0)$ pues debe ser $u_t(x, 0) = kf''(x) + F(x, 0)$ si u es solución].

Para la **varilla acotada** hay condiciones de contorno de varios tipos, con diferentes significados físicos. Si los extremos $x=0$ y $x=L$ están a lo largo del tiempo a **temperaturas dadas** $h_0(t)$ y $h_L(t)$ se tiene:

$$(P_4) \begin{cases} u_t - ku_{xx} = F(x, t), & x \in (0, L), t > 0 \\ u(x, 0) = f(x), & u(0, t) = h_0(t), u(L, t) = h_L(t) \end{cases}$$

Si se fija el **flujo de calor** en los extremos obtenemos:

$$(P_5) \begin{cases} u_t - ku_{xx} = F(x, t), & x \in (0, L), t > 0 \\ u(x, 0) = f(x), & u_x(0, t) = h_0(t), u_x(L, t) = h_L(t) \end{cases}$$

[En particular, si $h_0(t) = h_L(t) = 0$, los extremos están **aislados**].

Un tercer tipo de condiciones de contorno combina u y u_x :

$$u(0, t) - au_x(0, t) = h_0(t) \quad \text{ó} \quad u(L, t) + bu_x(L, t) = h_L(t), \quad \text{con } a, b > 0 .$$

Expresan la **radiación libre** hacia un medio a temperatura dada (si $x=L$ está más (menos) caliente que h_L entonces se irradia (chupa) calor puesto que $u_x = (h_L - u)/b < 0$ (> 0) y el flujo de calor es siempre en sentido opuesto al gradiente de las temperaturas; lo mismo sucede con el otro extremo).

Unicidad para el calor

(P₄) ó (P₅) (o cualquiera de los otros 7 problemas que aparecen combinando los 3 tipos de condiciones descritos) son todos problemas bien planteados.

Probemos su unicidad. Si u_1 y u_2 son soluciones, $u = u_1 - u_2$ satisface el problema con $F = f = h_0 = h_L = 0$. Nuestro objetivo es deducir que $u \equiv 0$.

Multiplicando la ecuación por u e integrando en x entre 0 y L se tiene:

$$\int_0^L uu_t dx - k \int_0^L uu_{xx} dx = \frac{1}{2} \frac{d}{dt} \int_0^L u^2 dx - k [uu_x]_{(0,t)}^{(L,t)} + k \int_0^L u_x^2 dx = 0 \Rightarrow \frac{d}{dt} \int_0^L [u(x,t)]^2 dx \leq 0$$

[si $u = 0$ ó $u_x = 0$ en los extremos la última implicación es clara, pues $k > 0$; es también fácil verlo si $u - au_x = 0$, $a > 0$ ó si $u + bu_x = 0$, $b > 0$; no se puede probar la unicidad para $a < 0$ ó $b < 0$ (físicamente inadmisibles)].

La última integral es una función $U(t)$ no creciente ($U' \leq 0$), que cumple $U(0) = 0$ (pues $u(x, 0) = 0$) y es $U(t) \geq 0$ (integrando positivo). De las tres afirmaciones se deduce que $U(t) \equiv 0 \Rightarrow u \equiv 0$. Unicidad.

Una forma diferente de probar la unicidad de algunos problemas (que permite probar la dependencia continua) es utilizar un **principio del máximo** que se ajuste al problema. Por ejemplo, para (P₄) sería útil este:

Si u es continua en $[0, T] \times [0, L]$ y satisface $u_t - ku_{xx} = 0$ en $(0, T) \times (0, L)$, los valores máximo y mínimo de u se alcanzan o bien en $t = 0$ o bien en $x = 0$ ó bien en $x = L$.

[Si la temperatura inicial en la varilla y la de sus extremos no superan un valor M , no se puede dar en su interior una temperatura mayor que M . Para probar la unicidad para los otros problemas de la ecuación del calor, necesitaríamos otros principios del máximo diferentes].

Problemas para Laplace

Son problemas de contorno. Los dos más importantes:

Problema de Dirichlet:

$$(P_D) \begin{cases} \Delta u = F \text{ en } D \\ u = f \text{ en } \partial D \end{cases}$$

Problema de Neumann:

$$(P_N) \begin{cases} \Delta u = F \text{ en } D \\ u_n = f \text{ en } \partial D \end{cases}$$



Siendo D abierto conexo acotado de \mathbf{R}^2 , ∂D su frontera y u_n la derivada en la dirección del vector normal unitario exterior \mathbf{n} .

Si vemos la EDP describiendo una distribución estacionaria de temperaturas en una placa, en (P_D) se dan las temperaturas en el borde y en (P_N) fijamos el flujo de calor en dirección normal al borde.

Si F , f y ∂D son buenas, (P_D) es un problema bien planteado que en 4.3 se resolverá en recintos sencillos. Probemos ahora su unicidad mediante la **fórmula de Green** (que generaliza la integración por partes a \mathbf{R}^2):

$$\text{Si } u \in C^2(D) \cap C^1(\bar{D}), \text{ entonces } \iint_D u \Delta u \, dx dy = \oint_{\partial D} u u_n \, ds - \iint_D \|\nabla u\|^2 \, dx dy.$$

$$[\text{Identidad } u \Delta u = \text{div}[u \nabla u] - \|\nabla u\|^2 \text{ y teorema de la divergencia } \iint_D \text{div} \mathbf{f} \, dx dy = \oint_{\partial D} \mathbf{f} \cdot \mathbf{n} \, ds].$$

Si u_1, u_2 soluciones de (P_D) , $u = u_1 - u_2$ cumple el problema con $F = f = 0$.

La fórmula de Green dice entonces que:

$$\iint_D \|\nabla u\|^2 \, dx dy = 0 \Rightarrow \nabla u = \mathbf{0} \Rightarrow u = \text{cte} \Rightarrow u \equiv 0 \text{ (pues } u = 0 \text{ en } \partial D).$$

Las complicaciones de Neumann

Para el (P_N) la situación se complica. En primer lugar, **para que (P_N) pueda tener solución es necesario que F y f satisfagan la relación:**

$$\iint_D F \, dx dy = \oint_{\partial D} f \, ds$$

[basta aplicar el teorema de la divergencia a ∇u para verlo].

Además, si (P_N) tiene solución, contendrá una constante arbitraria [lo que podíamos esperar, ya que ecuación y condición de contorno sólo contienen derivadas]. También se ve que si queremos repetir la prueba de la unicidad, se pueden dar todos los pasos excepto la última implicación. Se dice que el **problema de Neumann (P_N) tiene unicidad salvo constante.**

También se imponen a Laplace condiciones de contorno del tipo $u + au_n = f$, $a > 0$, y también tienen interés los problemas mixtos en que en parte de ∂D hay condiciones tipo Dirichlet, en otra de tipo Neumann... (todos ellos son problemas bien planteados).

En 4.3 aparecerán también problemas en recintos D no acotados. Para tener unicidad, además de los datos en ∂D , hay que exigir un 'adecuado comportamiento' en el infinito.

1.4. Ecuación de la cuerda vibrante

En 1.3 vimos que las características de

$$(P_1) \begin{cases} u_{tt} - c^2 u_{xx} = 0, & x, t \in \mathbf{R} \\ u(x, 0) = f(x), & u_t(x, 0) = g(x) \end{cases}$$

eran $x \pm ct = K$, la solución general $u(x, t) = p(x+ct) + q(x-ct)$, $p, q \in C^2$ arbitrarias, y la solución única de (P_1) , satisfaciendo ya los datos iniciales:

$$[1] \quad u(x, t) = \frac{1}{2} [f(x+ct) + f(x-ct)] + \frac{1}{2c} \int_{x-ct}^{x+ct} g(s) ds \quad \text{fórmula de D'Alembert}$$

[Para ser $u \in C^2$ (solución **clásica o regular**), debe $f \in C^2$ y $g \in C^1$. Si u es continua pero no C^2 se llama '**solución débil**'. Habría que probar la unicidad pues más funciones valen como soluciones].

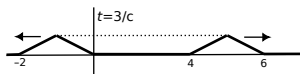
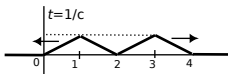
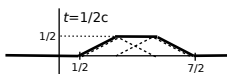
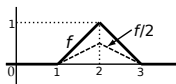
La solución de (P_1) es suma de dos ondas que viajan a velocidad c , una hacia las x crecientes y otra hacia las decrecientes. Viendo [1]:

$$\text{Si llamamos } G(x) \equiv \frac{1}{2c} \int_0^x g(s) ds, \quad q(x) = \frac{1}{2} f(x) - G(x), \quad p(x) = \frac{1}{2} f(x) + G(x).$$

Para dibujar la solución $u(x, t)$ en diferentes instantes t , identificadas estas ondas viajeras, basta trasladar sus gráficas y sumarlas (gráficamente). Esto es especialmente sencillo si sólo hay f .

Ej 1. Sea $f=0$ salvo un triángulo en torno a 2 y sea $g=0$.

Dibujemos la solución para varios t . Basta trasladar las dos ondas que viajan [aquí ambas son $\frac{1}{2} f(x)$]:



Ha costado muy poco dibujar y predecir la evolución de esta solución débil [bastante costaría dar la expresión analítica de la solución para todo x y todo t]. Los picos iniciales siguen indefinidamente.

Cuerda infinita con fuerzas externas

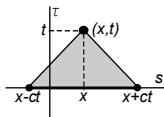
El problema es:

$$(P_2) \begin{cases} u_{tt} - c^2 u_{xx} = F(x, t), & x, t \in \mathbf{R} \\ u(x, 0) = f(x), & u_t(x, 0) = g(x) \end{cases}$$

Con resultados de derivación de integrales, se prueba que su solución es:

$$[2] \quad u(x, t) = \frac{1}{2} [f(x+ct) + f(x-ct)] + \frac{1}{2c} \int_{x-ct}^{x+ct} g(s) ds + \frac{1}{2c} \int_0^t \int_{x-c[t-\tau]}^{x+c[t-\tau]} F(s, \tau) ds d\tau$$

Sólo depende $u(x, t)$ de los valores de f en $x-ct$ y $x+ct$, puntos de corte con el eje x de las características que pasan por (x, t) , y de los de g en el intervalo $[x-ct, x+ct]$. A este intervalo se le llama **dominio de dependencia** del punto (x, t) . Se comprueba también que el recinto descrito por la integral doble es el triángulo del plano $s\tau$ limitado por $\tau=0$ y esas características. Así pues, para hallar la solución u en un punto (x, t) se necesita exclusivamente: i) los valores de F en el triángulo, ii) los de g en toda su base, iii) los de f en $x-ct$ y $x+ct$.



Ej 3.

$$\begin{cases} u_{tt} - u_{xx} = 2 \\ u(x, 0) = x, & u_t(x, 0) = 3 \end{cases}$$

Utilizando directamente [2]:

$$u = \frac{1}{2} [x+t+x-t] + \frac{1}{2} \int_{x-t}^{x+t} 3 ds + \int_0^t \int_{x-[t-\tau]}^{x+[t-\tau]} ds d\tau = x+3t+2 \int_0^t [t-\tau] d\tau = x+3t+t^2.$$

A veces es fácil hallar una solución v de la ecuación no homogénea y evitar el cálculo de la integral doble, pues $w = u - v$ lleva a un problema con $F=0$, resoluble con [1]. Si F depende sólo de x o de t se puede buscar una $v(x)$ o una $v(t)$. Aquí, por ejemplo, la mejor que se puede encontrar es:

$$v_{tt} = 2 \rightarrow v = t^2 + 3t \rightarrow \begin{cases} w_{tt} - w_{xx} = 0 \\ w(x, 0) = x, & w_t(x, 0) = 0 \end{cases} \rightarrow w = x \rightarrow u = x + 3t + t^2.$$

Cuerda semi-infinita homogénea y fija en un extremo

Resolvamos el primer problemas con **condiciones de contorno**:

$$(P_3) \begin{cases} u_{tt} - c^2 u_{xx} = 0, & x \geq 0, t \in \mathbf{R} \\ u(x, 0) = f(x), & u_t(x, 0) = g(x), u(0, t) = 0 \end{cases}$$

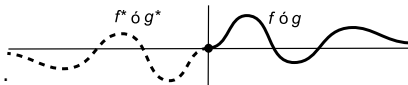
[para que no esté rota, debe ser $f(0) = 0$].

La fórmula [1] exige funciones definidas $\forall x$ y ni f ni g están definidas si $x < 0$. ¿Cómo extenderlas a todo \mathbf{R} ? Si llamamos f^* y g^* a sus extensiones y se debe cumplir la condición de contorno:

$$u(0, t) = \frac{1}{2} [f^*(ct) + f^*(-ct)] + \frac{1}{2c} \int_{-ct}^{ct} g^*(s) ds = 0,$$

es claro que f^* y g^* han de ser **impares respecto a 0**, es decir,

$$f^*(-x) = -f^*(x); \quad g^*(-x) = -g^*(x).$$



Así pues, la solución de (P_3) es la del problema (para la cuerda infinita):

$$\begin{cases} u_{tt} - c^2 u_{xx} = 0, & x, t \in \mathbf{R} \\ u(x, 0) = f^*(x), & u_t(x, 0) = g^*(x) \end{cases}$$

$$u(x, t) = \frac{1}{2} [f^*(x+ct) + f^*(x-ct)] + \frac{1}{2c} \int_{x-ct}^{x+ct} g^*(s) ds \quad [3]$$

pues u cumple la EDP, las condiciones iniciales para $x \geq 0$, y la de contorno. Las dificultades prácticas del uso de esta solución es que f^* y g^* tendrán, en general, diversas expresiones en distintos intervalos.

Ejemplo de cuerda semi-infinita con f

Ej 4.

$$u_{tt} - u_{xx} = 0, \quad x \geq 0, \quad t \in \mathbf{R}$$

$$u(x, 0) = \begin{cases} \sin^2 \pi x, & x \in [2, 3] \\ 0, & x \in [0, 2] \cup [3, \infty) \end{cases}, \quad u_t(x, 0) = u(0, t) = 0$$

a) Hallar $u(\frac{7}{6}, 4)$.

b) Dibujar $u(x, 2)$, $u(x, 4)$.

La solución es $u(x, t) = \frac{1}{2} [f^*(x+t) + f^*(x-t)]$, con f^* impar respecto al origen.

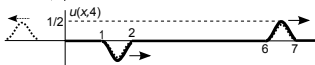
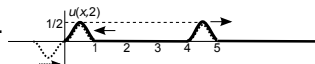
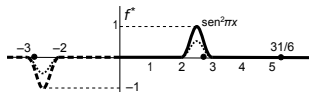
[f^* es función C^1 . Sería $-\sin^2 \pi x$ en $[-3, -2]$, pero no lo necesitamos para lo que se pide].

$$a) \quad u\left(\frac{7}{6}, 4\right) = \frac{1}{2} \left[f^*\left(\frac{31}{6}\right) + f^*\left(-\frac{17}{6}\right) \right]$$

$$= \frac{1}{2} \left[f\left(\frac{31}{6}\right) - f\left(\frac{17}{6}\right) \right] = -\frac{1}{2} \sin^2 \frac{17\pi}{6} = -\frac{1}{8}.$$

f^* impar \uparrow

b) Para dibujar basta trasladar rígidamente la gráfica de $\frac{1}{2} f^*$ a izquierda y derecha 2 unidades en un caso y 4 en otro y sumar.



portada de apuntes

Para $t=2$, la onda que se mueve hacia la izquierda está llegando a $x=0$; en $t=4$ se ha reflejado e invertido y ahora viaja hacia la derecha.

[Esta reflexión e inversión siempre se da en extremos con condición $u=0$, lo que permite predecir fácilmente la evolución de estas perturbaciones localizadas en la f . Si f fuese no nula, por ejemplo, en todo $[0, \infty)$ o si la no nula fuese la g , las cosas, gráficamente, se pueden complicar mucho].

Ejemplo de cuerda semi-infinita con g

Ej 5.

$$u_{tt} - u_{xx} = 0, \quad x \geq 0, \quad t \in \mathbf{R}$$

$$u(x, 0) = 0, \quad u_t(x, 0) = \begin{cases} (x-2)(x-4), & x \in [2, 4] \\ 0, & \text{resto de } [0, \infty) \end{cases}$$

$$u(0, t) = 0$$

Para aplicar D'Alembert extendemos g a una g^* impar definida en todo \mathbf{R} :

Entonces $u(x, t) = \frac{1}{2} \int_{x-t}^{x+t} g^*(s) ds$ será la solución del problema para todo x, t .

$$a) \quad u(3, 6) = \frac{1}{2} \int_{-3}^9 g^*_{\text{impar}} = \frac{1}{2} \int_3^4 (s^2 - 6s + 8) ds = \left[\frac{s^3}{6} - \frac{3s^2}{2} \right]_3^4 + 4 = -\frac{13}{3} + 4 = -\frac{1}{3}.$$

b) Para $t \geq 7$ es $3-t \geq -4$ y $3+t \geq 10$.

Por tanto, $u(3, t) = \frac{1}{2} \int_{3-t}^{3+t} g^* = 0$, pues las áreas se cancelan.

Para $1 \leq t \leq 5$ es $-2 \leq 3-t \leq 2$ y $3+t \geq 4$, y así g^* sólo es no nula en $[2, 4]$:

$$u(3, t) = \frac{1}{2} \int_2^4 (s^2 - 6s + 8) ds = -\frac{2}{3} \quad [\text{el doble de la de arriba}].$$

Por la imparidad no se ha necesitado, para hacer los cálculos anteriores, conocer la expresión de g^* para $x \leq 0$, pero sería fácil de escribir:

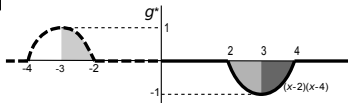
Para $x \in [-4, -2]$ es $g^*(x) = -(x+2)(x+4)$ y claramente es 0 en el resto.

(cambiando x por $-x$ y el signo)

Con esta expresión se obtendrían (trabajando más) los mismos valores.

a) Hallar el valor de $u(3, 6)$.

b) Hallar $u(3, t)$ para $t \geq 7$ y para $1 \leq t \leq 5$.



Problema general para la cuerda semi-infinita

$$(P_4) \begin{cases} u_{tt} - c^2 u_{xx} = F(x, t), & x \geq 0, t \in \mathbb{R} \\ u(x, 0) = f(x), & u_t(x, 0) = g(x), u(0, t) = h_0(t) \end{cases}$$

[debe ahora ser $f(0) = h_0(0)$].

Primero **debemos hacer la condición de contorno homogénea** hallando una v que la cumpla y haciendo $w = u - v$, ya que entonces será $w(0, t) = 0$.

La v más clara (no siempre la mejor) es: $v(t) = h_0(t)$.

Una vez que tenemos la condición de contorno homogénea, la solución del problema en w la da [2] si sustituimos sus f , g y F por f^* , g^* y F^* , siendo ésta última la **extensión impar de F mirándola como función de x** .

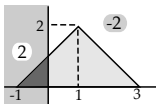
Ej 6.

$$\begin{cases} u_{tt} - u_{xx} = 0, & x \geq 0, t \in \mathbb{R} \\ u(x, 0) = u_t(x, 0) = 0, & u(0, t) = t^2 \end{cases}$$

Hallemos $u(1, 2)$. [En los apuntes está $u(x, t)$].

Con $w = u - t^2$ queda:

$$\begin{cases} w_{tt} - w_{xx} = -2 \\ w(x, 0) = w_t(x, 0) = w(0, t) = 0 \end{cases}, \quad \begin{cases} w_{tt} - w_{xx} = \begin{cases} 2, & x < 0 \\ -2, & x > 0 \end{cases} \\ w(x, 0) = w_t(x, 0) = 0 \end{cases}$$



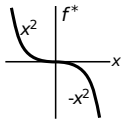
$$\rightarrow w(1, 2) = \frac{1}{2} \iint_{\Delta} F^* = \frac{1}{2} \left[(2) \text{área} \triangle_{\text{negro}} + (-2) \text{área} \triangle_{\text{gris}} \right] = -3 \rightarrow u(1, 2) = 1.$$

Podríamos lograr un problema sin F , encontrando una v mejor.

Tanteando se ve que $v = x^2 + t^2$ cumple la condición y la EDP:

$$w = u - v \rightarrow \begin{cases} w_{tt} - w_{xx} = 0 \\ w(x, 0) = -x^2 \\ w_t(x, 0) = w(0, t) = 0 \end{cases} \rightarrow \begin{cases} w_{tt} - w_{xx} = 0, & x, t \in \mathbb{R} \\ w(x, 0) = f^*(x) \\ w_t(x, 0) = 0 \end{cases}$$

$$\rightarrow w(1, 2) = \frac{1}{2} [f^*(3) + f^*(-1)] = -4 \rightarrow u(1, 2) = 5 - 4 = 1.$$



La cuerda acotada y fija en los extremos

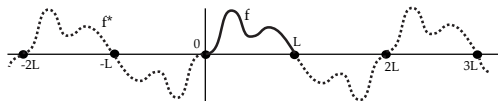


$$(P_5) \begin{cases} u_{tt} - c^2 u_{xx} = 0, & x \in [0, L], t \in \mathbf{R} \\ u(x, 0) = f(x), & u_t(x, 0) = g(x) \\ u(0, t) = u(L, t) = 0 \end{cases}$$

[debe ser $f(0) = f(L) = 0$].
[Reaparecerá en 4.2].

Para hallar su solución única con la fórmula de D'Alembert extendemos f y g a $[-L, L]$ de forma **impar respecto a 0** y luego de forma **$2L$ -periódica** a todo \mathbf{R} , es decir, llamando f^* y g^* a estas extensiones:

$$f^*(-x) = -f^*(x), f^*(x+2L) = f^*(x), g^*(-x) = -g^*(x), g^*(x+2L) = g^*(x).$$



(entonces f^* y g^* también serán impares respecto a L).

La solución de (P_5) se obtiene aplicando [3] al siguiente problema (por la imparidad de los datos se cumplen también las condiciones de contorno):

$$\begin{cases} u_{tt} - c^2 u_{xx} = 0, & x, t \in \mathbf{R} \\ u(x, 0) = f^*(x), & u_t(x, 0) = g^*(x) \end{cases}$$

Para que la u dada por [3] sea C^2 (regular) deben $f \in C^2[0, L]$ y $g \in C^1[0, L]$ y además:
 $f(0) = f(L) = f''(0) = f''(L) = g(0) = g(L) = 0$ [f' y g' existen en 0 y L por la imparidad].

[Si las condiciones de contorno fuesen para u_x (describe el hecho de dejar al extremo de la cuerda subir y bajar libremente) se deberían extender f y g de forma **par**. Por ejemplo,

$$u_x(0, t) = \frac{1}{2}[f^{*'}(ct) + f^{*'}(-ct)] + \frac{1}{2c}[g^*(-ct) - g^*(ct)] = 0 \Rightarrow g^* \text{ par y } f^{*'} \text{ impar} \Rightarrow f^* \text{ par}].$$

Cuerda pulsada en el centro

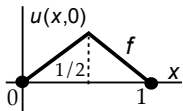
Ej 7.

$$u_{tt} - u_{xx} = 0, \quad x \in [0, 1], \quad t \in \mathbb{R}$$

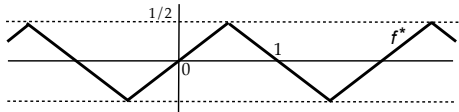
$$u(x, 0) = \begin{cases} x, & 0 \leq x \leq 1/2 \\ 1-x, & 1/2 \leq x \leq 1 \end{cases}$$

$$u_t(x, 0) = u(0, t) = u(1, t) = 0$$

(Puede representar la pulsación de la cuerda de una guitarra).



Es difícil dar explícitamente $u(x, t) \forall x, t$ por tener f^* muchas expresiones (exigiría discutir en qué intervalos están $x+t$ y $x-t$):



$$f^*(x) = \begin{cases} \dots \\ -1-x, & -3/2 \leq x \leq -1/2 \\ x, & -1/2 \leq x \leq 1/2 \\ 1-x, & 1/2 \leq x \leq 3/2 \\ x-2, & 3/2 \leq x \leq 5/2 \\ \dots \end{cases}$$

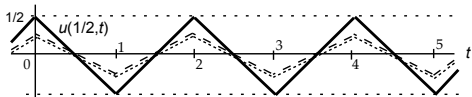
Algo más fácil es escribir la u para t o x fijos. Y es muy fácil hallarla para un (x, t) dado. No se necesita siquiera la expresión de f^* . Por ejemplo:

$$u\left(\frac{1}{4}, 3\right) = \frac{1}{2} \left[f^*\left(\frac{13}{4}\right) + f^*\left(-\frac{11}{4}\right) \right] = \frac{1}{2} \left[f^*\left(-\frac{3}{4}\right) + f^*\left(-\frac{3}{4}\right) \right] = -f\left(\frac{3}{4}\right) = -\frac{1}{4}.$$

\uparrow f^* es 2-periódica
 \uparrow f^* es impar

Tampoco se precisa conocer f^* para hacer dibujos: basta trasladar y sumar.

$$\text{Dibujemos: } u\left(\frac{1}{2}, t\right) = \frac{1}{2} \left[f^*\left(\frac{1}{2} + t\right) + f^*\left(\frac{1}{2} - t\right) \right] = \frac{1}{2} \left[f^*\left(\frac{1}{2} + t\right) - f^*\left(t - \frac{1}{2}\right) \right].$$



La gráfica tiene período 2. Esto es general: por las propiedades de f^* y g^* la solución es $\frac{2L}{c}$ -**periódica**.

La cuerda acotada general

$$(P_6) \begin{cases} u_{tt} - c^2 u_{xx} = F(x, t), & x \in [0, L], t \in \mathbf{R} \\ u(x, 0) = f(x), & u_t(x, 0) = g(x) \\ u(0, t) = h_0(t), & u(L, t) = h_L(t) \end{cases}$$

(hay fuerzas externas y movemos los extremos)

Primero se anulan los datos de contorno, dando una v y haciendo $w = u - v$.

Tanteando se llega a $v(x, t) = \left[1 - \frac{x}{L}\right]h_0(t) + \frac{x}{L}h_L(t)$ [a veces conviene buscar otra].

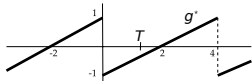
La solución del problema en w la da [2] con las extensiones impares f^* , g^* y F^* (vista F como función de x), en vez de f , g y F .

Ej 8.
$$\begin{cases} u_{tt} - u_{xx} = 0, & x \in [0, 2], t \in \mathbf{R} \\ u(x, 0) = u_t(x, 0) = 0 \\ u(0, t) = t, & u(2, t) = 0 \end{cases}$$

Hallems la solución para $t \in [0, 2]$.

Primero usamos $v = t(1 - \frac{x}{2})$ $\xrightarrow{u=w+v}$

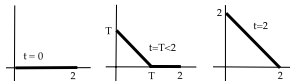
$$\begin{cases} w_{tt} - w_{xx} = 0, & x \in [0, 2] \\ w_t(x, 0) = \frac{x}{2} - 1 \\ w(x, 0) = w(0, t) = w(2, t) = 0 \end{cases}, \begin{cases} w_{tt} - w_{xx} = 0, & x \in \mathbf{R} \\ w(x, 0) = 0 \\ w_t(x, 0) = g^*(x) \end{cases}, \quad w = \frac{1}{2} \int_{x-t}^{x+t} g^*.$$



Sea $T \in [0, 2]$ fijo. Como $[x-T, x+T]$ no contiene valores negativos si $x \geq T$:

$$w(x, T) = \begin{cases} \frac{1}{2} \int_{x-T}^0 \left(\frac{s}{2} + 1\right) ds + \frac{1}{2} \int_0^{x+T} \left(\frac{s}{2} - 1\right) ds = x\left(\frac{T}{2} - 1\right), & x \in [0, T] \\ \frac{1}{2} \int_{x-T}^{x+T} \left(\frac{s}{2} - 1\right) ds = T\left(\frac{x}{2} - 1\right), & x \in [T, 2] \end{cases}$$

$$\rightarrow u(x, T) = \begin{cases} T-x, & x \in [0, T] \\ 0, & x \in [T, 2] \end{cases}$$



La perturbación viaja a velocidad 1. La cuerda debe estar quieta si $x \geq T$.

Ondas en el espacio con simetría radial

Acabemos la sección viendo que las **ondas** $u_{tt}-c^2\Delta u=0$ **en el espacio con simetría radial** se reducen a cuerdas semi-infinitas. Pasando el Δu a esféricas y quitando las derivadas respecto a θ y ϕ se llega a:

$$(P_r) \begin{cases} u_{tt} - c^2[u_{rr} + \frac{2}{r}u_r] = 0, & r \geq 0, t \in \mathbf{R} \\ u(r, 0) = f(r), & u_t(r, 0) = g(r) \end{cases}$$

Con el cambio $v=ur$, la ecuación pasa a ser la $v_{tt}-c^2v_{rr}=0$ de la cuerda. Y como u debe ser acotada, aparece la condición $v(0, t)=0 \cdot u(0, t)=0$. Así pues, el problema en v es del tipo (P_3) que vimos antes:

$$\begin{cases} v_{tt} - c^2v_{rr} = 0, & r \geq 0, t \in \mathbf{R} \\ v(r, 0) = rf(r) \equiv F(r), & v_t(r, 0) = rg(r) \equiv G(r), v(0, t) = 0 \end{cases} .$$

Si F^* y G^* son las extensiones impares de $F(r)$ y $G(r)$ la solución de (P_r) es:

$$u(r, t) = \frac{1}{2r}[F^*(r+ct) + F^*(r-ct)] + \frac{1}{2cr} \int_{r-ct}^{r+ct} G^*(s) ds ,$$

que podemos escribir $u(r, t) = \frac{1}{r}p(r+ct) + \frac{1}{r}q(r-ct)$ e interpretar como suma de dos ondas esféricas, cuyos radios disminuyen o crecen a velocidad c . La magnitud de la perturbación propagada es inversamente proporcional a r .

[En el plano no hay cambio similar y las cosas se complican bastante aquí y separando variables].